

**МЕХАНИКА
ТВЕРДОГО ТЕЛА
№ 3 • 1998**

УДК 539.3

© 1998 г. А.С. КОСМОДАМИАНСКИЙ, Н.М. НЕСКОРОДЕВ,
Р.Н. НЕСКОРОДЕВ

**НАПРЯЖЕННОЕ СОСТОЯНИЕ АНИЗОТРОПНОЙ ПЛАСТИНКИ
С КРИВОЛИНЕЙНЫМ ОТВЕРСТИЕМ, ГРАНИЦА КОТОРОГО ИМЕЕТ
НЕПРЕРЫВНУЮ КАСАТЕЛЬНУЮ**

В [1] предложен способ аппроксимации границы области пластиинки произвольного очертания с помощью криволинейных элементов. В качестве таких элементов взяты части эллиптических контуров. При этом, в точках стыковки эллиптических контуров не выполняется условие гладкости (нарушена непрерывность касательной) граничной линии, что не позволяет определять в этих точках компоненты напряженного состояния рассматриваемой пластиинки.

В данной работе приводится методика аппроксимации выпуклой границы области с гладким стыкованием элементов. На базе этой аппроксимации исследуется напряженное состояние анизотропных пластиинок с отверстиями, имеющими границу с непрерывной касательной.

1. Аппроксимация границы области. Рассмотрим часть границы, ограниченную двумя прямолинейными граничными элементами t_r, t_{r+1} и t_{r+1}, t_{r+2} с угловой точкой t_{r+1} (фиг. 1). Аппроксимируем эти элементы эллиптическими контурами L_r и L_{r+1} так, чтобы эти контуры пересекались в некоторой точке t_0 , и имели в этой точке одну и ту же нормаль. В этом случае обеспечивается построение контура с непрерывной касательной в точке стыкования t_0 .

В [2] показано, что выбирая значение полуоси $b_r = \beta_r a_r$, можно аппроксимировать прямую t_r, t_{r+1} полуэллипсом L_r , сколь угодно точно за счет выбора параметра β_r .

Считая параметр $\beta_r \neq 0$, но малым, проведем эллипс L_r через точки t_r^* и t_{r+1}^{**} , координаты которых выражаются формулами

$$t_r^* = t_r + \frac{t_r - t_{r+1}}{|t_r - t_{r+1}|} c_r, \quad t_{r+1}^{**} = t_{r+1} - \frac{t_r - t_{r+1}}{|t_r - t_{r+1}|} d_r \quad (1.1)$$

где c_r и d_r – вещественные постоянные, значения которых будут определены ниже.

Уравнение контура L_r имеет вид [1] (θ_r – полярный угол):

$$t = z_r + R_r \sigma + m_r / \sigma \quad (1.2)$$

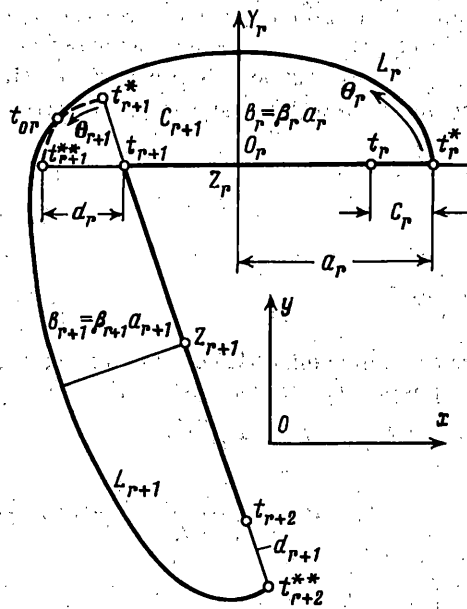
$$R_r = \frac{t_r^* - t_{r+1}^{**}}{4} (1 + \beta_r), \quad m_r = \frac{t_r^* - t_{r+1}^{**}}{4} (1 - \beta_r) \quad (1.3)$$

$$z_r = (t_r^* + t_{r+1}^{**}) / 2, \quad \sigma = e^{i\theta}$$

Аналогичные соотношения имеют место и для контура L_{r+1} .

Уравнение нормали к контуру L_r имеет вид

$$\mathbf{n}_r = \cos(x, n_r) + i \cos(y, n_r) = \frac{dy}{ds} - i \frac{dx}{ds} = -i \frac{dz}{ds} = \frac{R_r \sigma - m_r / \sigma}{|R_r \sigma - m_r / \sigma|} \quad (1.4)$$



Фиг. 1

Для контуров L_r и L_{r+1} в точке их стыковки t_{0r} имеем

$$\sigma_r = \cos(\pi - \theta_r) + i \sin(\pi - \theta_r) = -\cos \theta_r + i \sin \theta_r \quad (1.5)$$

$$\sigma_{r+1} = \cos(\theta_{r+1}) + i \sin(\theta_{r+1})$$

Считаем, что углы θ_r и θ_{r+1} в окрестности точки t_{0r} связаны с параметрами β_r и β_{r+1} соотношениями

$$\theta_r = \beta_r p_r, \quad \theta_{r+1} = \beta_{r+1} p_r \quad (1.6)$$

где p_r – постоянная, подлежащая определению.

Разложим соотношения (1.5) в ряды и ограничиваясь величинами β_r и β_{r+1} в степени не выше второй, получим

$$\sigma_r = -1 + \beta_r^2 p_r^2 / 2 + i \beta_r p_r, \quad \sigma_{r+1} = 1 - \beta_{r+1}^2 p_r^2 / 2 + i \beta_{r+1} p_r \quad (1.7)$$

Подставляя разложения (1.7) и представления (1.3) в уравнения (1.4) и, учитывая (1.1), найдем

$$n_r = \frac{t_r - t_{r+1}}{|t_r - t_{r+1}|} \frac{-1 + ip_r}{\sqrt{1 + p_r^2}}, \quad n_{r+1} = \frac{t_{r+1} - t_{r+2}}{|t_{r+1} - t_{r+2}|} \frac{1 + ip_r}{\sqrt{1 + p_r^2}} \quad (1.8)$$

Сравнивая правые части уравнений (1.8) находим величину p_r :

$$p_r = i(B + A)/(B - A) \quad (1.9)$$

$$A = \frac{t_r - t_{r+1}}{|t_r - t_{r+1}|}, \quad B = \frac{t_{r+1} - t_{r+2}}{|t_{r+1} - t_{r+2}|} \quad (1.10)$$

Величина p_r является вещественной.

Действительно, соотношения (1.10) можно представить так

$$A = \cos \varphi_1 + i \sin \varphi_1, \quad B = \cos \varphi_2 + i \sin \varphi_2 \quad (1.11)$$

Подставим представления (1.11) в правую часть соотношений (1.9). После ряда преобразований получим $p_r = \operatorname{ctg}((\varphi_2 - \varphi_1)/2)$ – вещественная величина.

Определим постоянные c_r и d_r , входящие в формулы (1.1). Подставив в уравнения (1.2) контуров L_r и L_{r+1} значения (1.3) и (1.7), найдем координату точки t_{0r} :

$$t_{0r} = t_{r+1}^{**} + \frac{t_r^* - t_{r+1}^{**}}{2} \beta_r^2 p_r \left(i + \frac{p_r}{2} \right) \quad (1.12)$$

$$t_{0r} = t_{r+1}^* + \frac{t_{r+1}^* - t_{r+2}^{**}}{2} \beta_r^2 p_r \left(i - \frac{p_r}{2} \right)$$

Сравнивая правые части соотношений (1.12) с учетом представлений (1.1), получим алгебраическую систему для определения величин c_r и d_r :

$$d_r A_{rr} + d_{r+1} A_{r,r+1} + c_r B_{rr} + c_{r+1} B_{r,r+1} = q_r \quad (r=1, N) \quad (1.13)$$

$$A_{rr} = \frac{t_r - t_{r+1}}{|t_r - t_{r+1}|} \left(1 - \frac{\beta_r^2 p_r}{2} \left(i + \frac{p_r}{2} \right) \right), \quad B_{rr} = -\frac{t_r - t_{r+1}}{|t_r - t_{r+1}|} \frac{\beta_r^2 p_r}{2} \left(i + \frac{p_r}{2} \right)$$

$$A_{r,r+1} = \frac{t_{r+1} - t_{r+2}}{|t_{r+1} - t_{r+2}|} \frac{\beta_{r+1}^2 p_r}{2} \left(i - \frac{p_r}{2} \right)$$

$$B_{r,r+1} = \frac{t_{r+1} - t_{r+2}}{|t_{r+1} - t_{r+2}|} \left(1 + \frac{\beta_{r+1}^2 p_r}{2} \left(i - \frac{p_r}{2} \right) \right) \quad (1.14)$$

$$q_r = \frac{t_r - t_{r+1}}{2} \beta_r^2 p_r \left(i + \frac{p_r}{2} \right) - \frac{t_{r+1} - t_{r+2}}{2} \beta_{r+1}^2 p_r \left(i - \frac{p_r}{2} \right)$$

После решения системы уравнений (1.13) становятся известными величины d_r и c_r ($r=1, N$). Координаты новых точек t_r^* и t_{r+1}^{**} , на которых строится гладкий контур, определяются формулами (1.1).

Уравнение контура L_r (1.2) определено в системе координат Oxy . В местной системе координат $O_r x_r y_r$, связанной с центром эллипса L_r (фиг. 1) это уравнение имеет каноническую форму:

$$x_r = a_r \cos(\theta), y_r = \beta_r a_r \sin(\theta), a_r = |R_r + m_r| \quad (1.15)$$

Если кривая задана уравнениями (1.15), то кривизна k вычисляется по формуле [3]:

$$k = (x'_r y''_r - x''_r y'_r) / (x'^2_r + y'^2_r)^{3/2} = \beta_r (1 - (1 - \beta_r^2) \cos^2 \theta)^{-3/2} / a_r \quad (1.16)$$

Кривизна в точке стыковки контуров t_{0r} , где $\theta = \pi - \beta_r p_r$, вычисляется из соотношения

$$k = \beta_r^{-2} a_r^{-1} (1 + p_r^2)^{-3/2} \quad (1.17)$$

и имеет значение порядка β_r^{-2} .

При проведении расчетов удобнее использовать безразмерную приведенную кривизну K , которая вводится как произведение кривизны k на полусумму полуосей эллипса L_r , т.е. $K = k(a_r + b_r)/2$.

2. Определение напряженного состояния. В [4] показано, что решение задачи о напряженном состоянии анизотропной пластинки с отверстиями при заданных внешних усилиях приводится к определению функций $\Phi_j(z_j)$ ($j = 1, 2$; $z_j = x + \mu_j y$) из

граничных условий на контурах отверстий. Функции $\Phi_j(z_j)$ определены в областях S_j , которые получаются из области S , занимаемой пластиинкой, аффинными преобразованиями:

$$x_j = x + \alpha_j y, \quad y_j = \beta_j y, \quad \mu_j = \alpha_j + i\beta_j \quad (2.1)$$

Учитывая, что аффиксы точек t_j на эллиптических контурах в областях S_j выражаются соотношениями $t_j = x + \mu_j y$, из уравнения (1.2) и сопряженного к нему найдем:

$$t_j = z_{jr} + R_{jr}\sigma + m_{jr}/\sigma, \quad z_{jr} = x_r + \mu_j y_r \quad (2.2)$$

$$R_{jr} = \frac{R_r + \bar{m}_r - i\mu_j(R_r - \bar{m}_r)}{2}, \quad m_{jr} = \frac{\bar{R}_r + m_r + i\mu_j(\bar{R}_r - m_r)}{2} \quad (2.3)$$

На основании уравнений (2.2) можно записать функции, отображающие внешность единичной окружности на внешности эллипсов в областях S_j :

$$z_j = z_{jr} + R_{jr}\zeta_{jr} + m_{jr}/\zeta_{jr} \quad (|\zeta_{jr}| \geq 1) \quad (2.4)$$

Для каждого эллиптического контура L_r границы области будем вводить в области пластиинки комплексные потенциалы

$$\Phi_{jr} = \sum_{k=1}^{\infty} a_{rkj} / \zeta_{jr}^k \quad (2.5)$$

Если контур границы пластиинки состоит из N эллиптических контуров L_r , то комплексные потенциалы $\Phi_j(z_j)$, описывающие ее напряженное состояние, будут представлены в виде суммы функций, голоморфных вне контуров:

$$\Phi_j(z_j) = \sum_{r=1}^N \Phi_{jr} = \sum_{r=1}^N \sum_{k=1}^{\infty} a_{rkj} / \zeta_{jr}^k \quad (2.6)$$

Будем считать, что каждый контур L_r подвержен действию нормального p_r и касательного t_r усилий. Внешние усилия $\sigma_x^0 = p$, $\sigma_y^0 = q$, $\tau_{xy}^0 = t$ могут также действовать вдали от отверстий. Проекции этих усилий на координатные оси запишутся так

$$X_n = n_{1r}p_r - n_{2r}t_r - (n_{1r}p + n_{2r}t) \quad (2.7)$$

$$Y_n = n_{2r}p_r + n_{1r}t_r - (n_{1r}t + n_{2r}q)$$

где $n_{1r} = \cos(n_r, x)$, $n_{2r} = \cos(n_r, y)$, n_r – внешняя нормаль к контуру L_r .

Границные условия на r -м контуре с учетом соотношений (2.7) представим в виде

$$2 \operatorname{Re} \sum_{j=1,2} a_{jr} \Phi'_{jr} = P_r^1, \quad 2 \operatorname{Re} \sum_{j=1,2} b_{jr} \Phi'_{jr} = P_r^2 \quad (2.8)$$

$$a_{jr} = (n_{2r} - \mu_j n_{1r})(n_{2r} - \mu_j n_{1r}), \quad b_{jr} = (n_{2r} - \mu_j n_{1r})(n_{1r} + \mu_j n_{2r})$$

$$P_r^1 = p_r - (n_{1r}^2 p + 2n_{1r}n_{2r}t + n_{2r}^2 q) \quad (2.9)$$

$$P_r^2 = t_r - (n_{1r}n_{2r}(q - p) + (n_{1r}^2 - n_{2r}^2)t)$$

Для определения комплексных постоянных $a_{rkj} = a_{rkj}^1 + ia_{rkj}^2$, входящих в разложения функций Φ_{jr} , воспользуемся дискретным методом наименьших квадратов. Составим

функционал

$$J = \sum_{m=1}^M \sum_{r=1}^N \left[\left(\sum_{j=1}^2 (a_{jr} \Phi'_{jr}(t_{jm}) + \overline{a_{jr} \Phi'_{jr}(t_{jm})}) - P_r^1 \right)^2 + \left(\sum_{j=1}^2 (b_{jr} \Phi'_{jr}(t_{jm}) + \overline{b_{jr} \Phi'_{jr}(t_{jm})}) - P_r^2 \right)^2 \right] \quad (2.10)$$

где t_{jm} – аффиксы точек на граничном контуре; величина M определяет количество этих точек.

Удовлетворяя условиям $\partial J / \partial a_{lpi}^1 = \partial J / \partial a_{lpi}^2 = 0$ ($l = \overline{1, N}$; $p = \overline{1, n}$; $i = 1, 2$), получим систему линейных алгебраических уравнений для определения коэффициентов a_{rkj}^1 и a_{rkj}^2 :

$$\begin{aligned} & \sum_{m=1}^M \sum_{r=1}^N \sum_{k=1}^n \sum_{l=1}^2 \left[a_{rkj}^1 (A_{mrkj}^1 A_{mlpi}^1 + B_{mrkj}^1 B_{mlpi}^1) + a_{rkj}^2 (A_{mrkj}^2 A_{mlpi}^1 + B_{mrkj}^2 B_{mlpi}^1) \right] = \\ & = \sum_{m=1}^M \left[P_{lm}^1 A_{mlpi}^1 + P_{lm}^2 B_{mlpi}^1 \right] \end{aligned} \quad (2.11)$$

$$\begin{aligned} & \sum_{m=1}^M \sum_{r=1}^N \sum_{k=1}^n \sum_{l=1}^2 \left[a_{rkj}^1 (A_{mrkj}^1 A_{mlpi}^2 + B_{mrkj}^1 B_{mlpi}^2) + a_{rkj}^2 (A_{mrkj}^2 A_{mlpi}^2 + B_{mrkj}^2 B_{mlpi}^2) \right] = \\ & = \sum_{m=1}^M \left[P_{lm}^1 A_{mlpi}^2 + P_{lm}^2 B_{mlpi}^2 \right] \quad (l = \overline{1, N}; i = 1, 2; p = \overline{1, n}) \end{aligned}$$

$$\begin{aligned} A_{mrkj}^1 &= 2 \operatorname{Re} a_{jr} \Phi_{mjrk}, \quad A_{mrkj}^2 = 2 \operatorname{Re} i a_{jr} \Phi_{mjrk} \\ B_{mrkj}^1 &= 2 \operatorname{Re} b_{jr} \Phi_{mjrk}, \quad B_{mrkj}^2 = 2 \operatorname{Re} i b_{jr} \Phi_{mjrk} \end{aligned} \quad (2.12)$$

$$\Phi_{mjrk} = \frac{d}{dz_j} (\zeta_{jr}^{-k}) = -\frac{k}{(R_{jr} \zeta_{jr}^2 - m_{jr})} \frac{1}{\zeta_{jr}^{k-1}}$$

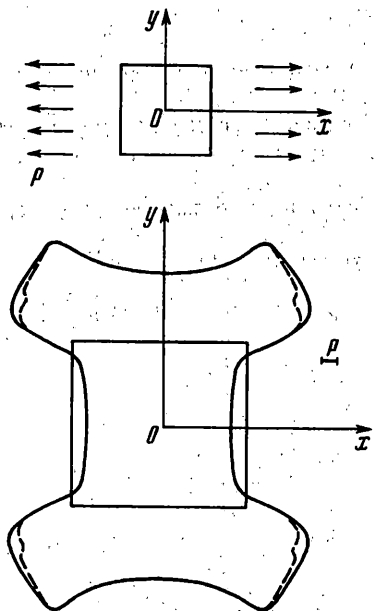
После нахождения коэффициентов $a_{rkj} = a_{rkj}^1 + i a_{rkj}^2$ из системы алгебраических уравнений (2.11) становятся известными функции $\Phi_j(z_j)$. Напряжения, возникающие в пластиинке, определяются из соотношений

$$\sigma_x = 2 \operatorname{Re} \sum_{j=1,2} \mu_j^2 \Phi'_j(z_j), \quad \sigma_y = 2 \operatorname{Re} \sum_{j=1,2} \Phi'_j(z_j), \quad \tau_{xy} = -2 \operatorname{Re} \sum_{j=1,2} \mu_j \Phi'_j(z_j) \quad (2.13)$$

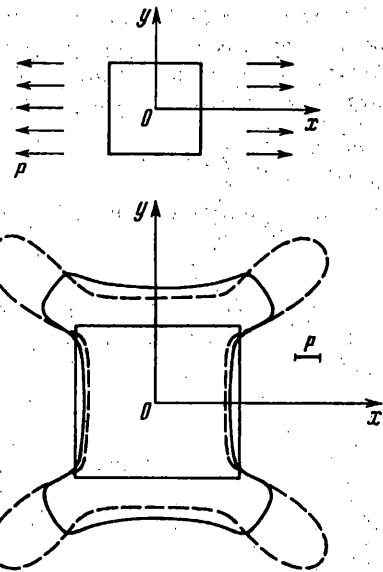
Наибольший интерес представляют напряжения, действующие на контурах или вблизи контуров отверстий на площадках, касательных и нормальных к ним:

$$\begin{aligned} \sigma_n &= \sigma_x n_1^2 + \sigma_y n_2^2 + 2 \tau_{xy} n_1 n_2 \\ \sigma_\theta &= \sigma_x n_2^2 + \sigma_y n_1^2 - 2 \tau_{xy} n_1 n_2 \\ \tau_{n\theta} &= (\sigma_y - \sigma_x) n_1 n_2 + \tau_{xy} (n_1^2 - n_2^2) \end{aligned} \quad (2.14)$$

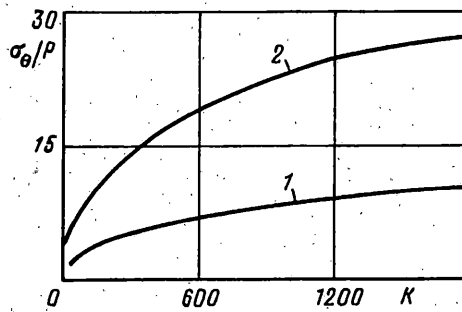
Численные исследования проводились для анизотропных и изотропных материалов. Результаты исследований, полученные на основе изложенного метода, с высокой точностью совпадают с известными результатами других авторов. Предложенный метод позволяет определять компоненты напряженного состояния в точках стыковки эллиптических контуров. На фиг. 2 даны графики изменения напряжения



Фиг. 2



Фиг. 3



Фиг. 4

σ_θ/p для случая, когда пластинка, изготовленная из авиационной фанеры ($\mu_1 = 4,11 i$, $\mu_2 = 0,343 i$) и вдали от квадратного отверстия загружена усилиями $\sigma_x^0 = p$, $\sigma_y^0 = \tau_{xy}^0 = 0$. Сплошная линия соответствует распределению напряжений вблизи контура с гладким стыкованием элементов; штриховая – с нарушением гладкости [1]. Из рисунка видно, что результаты совпадают с большой точностью.

Анализ численных результатов показал, что с появлением в пластинке анизотропии концентрация напряжений вблизи угловых точек уменьшается. На фиг. 3 даны графики изменения напряжения σ_θ/p в точках контура квадратного отверстия в случае, когда пластинка загружена на бесконечности усилиями $\sigma_x^0 = p$, $\sigma_y^0 = \tau_{xy}^0 = 0$ (приведенная кривизна в угловой точке равна 75), сплошная линия соответствует распределению напряжения для анизотропной пластинки ($\mu_1 = 4,11 i$, $\mu_2 = 0,343 i$); штриховая – для изотропной ($\mu_1 = \mu_2 = i$). На фиг. 4 приведены графики изменения напряжения σ_θ/p в точкестыкования эллиптических контуров, аппроксимирующих квадратное отверстие пластинки, в зависимости от кривизны K в этой точке. Кривая 1 – напряжения в авиационной фанере, кривая 2 – напряжения в изотропном материале.

СПИСОК ЛИТЕРАТУРЫ

1. Космодамианский А.С., Нескородев Н.М. Напряженное состояние анизотропной пластинки с отверстиями произвольной формы // ДАН Украины. 1993. № 7. С. 54–56.
2. Нескородев Н.М. Метод граничных элементов в задачах о напряженном состоянии анизотропной пластинки с отверстиями // Теорет. и прикл. механика. 1993. Вып. 24. С. 44–49.
3. Корн Г., Корн Т. Справочник по математике для научных работников и инженеров. М.: Наука, 1974. 832 стр.
4. Лехницкий С.Г. Анизотропные пластинки. М.: Гостехиздат, 1957. 463 с.

Донецк

Поступила в редакцию
5.1.1997